

مطالعه کانی شناسی و ژنز کانسار آهن کامو (میمه - اصفهان)

^۱ جهانگیر اسماعیلی^{*}، احمد خاکزاد^۲، مهرداد بهزادی^۳، منصور وثوقی عابدی^۴

۱-دانشجوی دکترا زمین‌شناسی اقتصادی، دانشگاه آزاد اسلامی، واحد علوم و تحقیقات تهران

۲-دانشیار گروه زمین‌شناسی، دانشگاه آزاد اسلامی، واحد تهران شمال

۳-دانشیار گروه زمین‌شناسی، دانشگاه شهید بهشتی تهران

۴-دانشیار گروه زمین‌شناسی، دانشگاه آزاد اسلامی، واحد علوم و تحقیقات تهران

پذیرش مقاله: ۱۳۹۷/۹/۱۴

تأیید نهایی مقاله: ۱۳۹۷/۱۱/۱۶

چکیده

یکی از مناطق مستعد جهت پی‌جوبی و اکتشاف ان迪س‌های فلزی از جمله آهن، در شمال شرق اصفهان واقع شده است. بروند وسیعی از توده گرانیت‌وئیدی در محدوده مورد مطالعه و اطراف آن (گرانیت‌های کرکس) وجود دارد که بیشتر واحدهای چینه‌شناسی قبل از الیگومیوسن منطقه را قطع کرده است. لیتولوژی منطقه شامل ماسه‌سنگ‌های ریز تا درشت‌دانه، دولومیت‌های توده‌ای، آهک‌های کرم رنگ فسیل‌دار و توده‌های نفوذی منطقه به ترتیب فراوانی شامل کوارتز‌مونزونیت، کوارتز‌مونوزدیوریت، گرانو‌دیوریت و گرانیت می‌باشد. گرانیت‌های منطقه در زون فرورانش و قبل از تصادم تشکیل و از نوع (VAG) هستند و از نظر ماغمایی جزء سری کالکو‌آلکالن (CAG) می‌باشند که دم‌های داسیتی فراوانی در آن نفوذ کرده است. سنگ‌های آتش‌فشاری منطقه شامل پورفیرو‌داسیت، آندزیت و کوارتزلاتیت به سن میوسن تا پلیوسن است. منشاء آهن، ماغمای گرانیتی نیمه عمیق با متور محركه عظیم گرمایی که ضمن گسیل دادن سیالات حاوی عناصر به افق‌های بالا و حمله به سنگ‌های آهک و دولومیت‌ها اسکارن‌زایی با ترکیب کانی‌شناسی آندرادیت، گرسولر، هسونیت، اپیدوت، لیپیدوکرولیت، زوئیزیت و هدنبریزیت شده است. علاوه بر این، سیالات گرمایی سبب تشکیل کانی‌های دگرسانی کائولینیت، مونت موریلونیت کلریت و سرسیت گردیده و پدیده سوپر ژن در غنی شدگی کانسار آهن در سطح نقش اساسی داشته است که شاهد اصلی آن کلاهک آهنه (گوسان) است. معدن آهن کامو که بر روی آن واقع است از کانی‌های آهن مانند مگنتیت، هماتیت، لیمونیت، گوتیت و پاراژن‌های آن تشکیل شده است. مگنتیت و کانی‌های سولفیدی مانند پیریت و کالکو‌پیریت و با منشاء ماغمایی، نسل اول کانی‌زایی اسکارنی و دگرسانی‌های حاصل از سیالات ماغمایی نسل دوم و پدیده سوپرژن نسل سوم کانی‌سازی (هماتیت، لیمونیت، کوولیت، گوتیت) منطقه کامو را تشکیل داده‌اند. بنابراین ژنز اصلی کانسار آهن کامو به صورت اپی‌ژنتیک هیدروترمالی می‌باشد.

واژه‌های کلیدی: گوسان، آلتراسیون، اسکارن، سوپرژن، کامو.

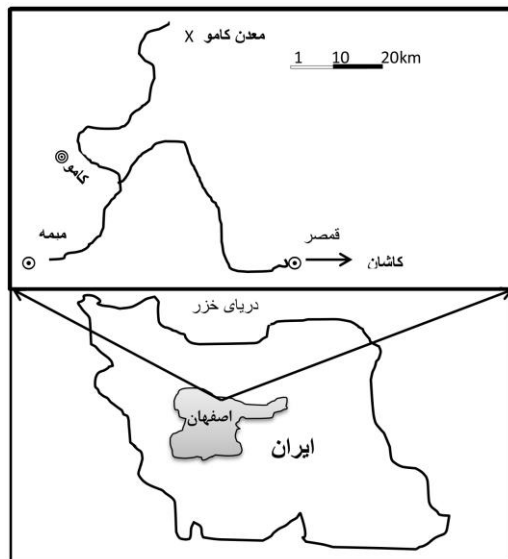
گزارش توده نفوذی گرانودیوریتی کرکس (در شرق منطقه مورد مطالعه) سن مطلق بین ۱۷ تا ۱۹ میلیون سال (میوسن میانی) دارند. عمیدی (۱۳۵۹) در نتیجه بررسی کانی‌سازی‌های آهن-کبالت منطقه قمصر در شمال‌غرب محدوده‌ی مورد مطالعه به دو زون کانی‌سازی سولفیدی و اکسیدی اشاره داشته است و تشکیل کبالت را در دمای ۶۰۰ درجه سانتیگراد و مقدم بر تشکیل مگنتیت دانسته است. حاج علیلو (۱۳۶۸) کانی-زاپی کانسار آهن کامو را نیز حاصل تأثیر توده گرانیتی بر آهک‌های اوربیتولین دار کرتاسه عنوان کرده است.

محدوده مورد مطالعه

اندیس آهن کامو در ۳۰ کیلومتری شمال شرق میمه و در مسیر جاده‌ی کامو به قهرود یک جاده شوسه به سمت شمال منشعب می‌گردد که پس از ۵ کیلومتر طی طریق به کانسار آهن کامو می-رسیم. نام روستای کامو از دو کلمه کام (دهانه) و او (آب) است یعنی (دهانه رودخانه) و مختصات مرکز روستا عبارت است از: $38^{\circ}2'4''$, $21^{\circ}36'38''$ و $22^{\circ}18'$, $51^{\circ}21'$ از نظر ژئوموپولوژی دشت کم ارتفاع کامو در کنار ارتفاعات نسبتاً بلند کرکس قرار دارد. محدوده‌ی مورد مطالعه در نقشه توپوگرافی ۱:۵۰۰۰۰ کامو که توسط سازمان نقشه‌برداری تهیه شده قرار دارد. کروکی موقعیت و راههای دسترسی به کانسار آهن کامو در شکل ۱ ارائه شده است.

مقدمه

منطقه مورد مطالعه در ایالت فلز زایی ارومیه - دختر (نوار آتشفسانی سهند - بزمان) قرار دارد (آقاباتی، ۱۳۸۳). این زون به طول ۱۵۰۰ کیلومتر و به عرض تقریبی ۱۰۰ کیلومتر است و در راستای زون سنندج - سیرجان و به موازات آن قرار دارد. قدیمی ترین واحد قابل مشاهده در منطقه ماسه سنگ‌های معادل سازند سرخ شیل است که بر روی آن دولومیت‌های شتری قرار دارد. جوانترین واحدهای زمین‌شناسی منطقه از رسوبات معادل کواترنری تشکیل شده‌اند. از دیدگاه تکتونیکی چهار گسل کامو، گسل چال و گرگیش و ویشنگ به صورت موازی با روند شمال غربی - جنوب شرقی که در امتداد روراندگی زاگرس کشیده شده‌اند در محدوده شناسایی شده است قهرایی پور (۱۳۹۲) گزارش نموده است که عمق زیاد این گسل‌ها احتمالاً نقش اساسی در تقویت سیالات کانه‌زا و غنی‌شدگی ذخیره معدنی داشته است. فتحیان پور (۱۳۸۵) بیان نموده است که اولین بررسی‌های زمین‌شناسی انجام شده در منطقه مورد مطالعه مربوط به یکصد سال قبل (۱۹۱۱) توسط استاهاال (Stahal) صورت گرفته است. قهرمانی پور (۱۳۸۹) در گزارش شماره ۴۲ سازمان زمین‌شناسی به بررسی چینه‌شناسی و پترولولوژی منطقه نطنز در شرق محدوده مورد مطالعه پرداخته است و عقیده دارد که دگرگونی در نهشته یاد شده را در یک سیستم هورست-گرابن با فرونشیست تدریجی در حوضه رسوبی صورت گرفته که با تظاهرات پی‌درپی ماقمایی از کرتاسه تا میوسن همراه بوده است. طبق این



شکل ۱: کروکی و موقعیت راههای دسترسی به کانسار آهن کامو

های برداشت شده، جهت مطالعه پتروگرافی و مینرالوژی با نور عبوری و انعکاسی، مقاطع نازک و صیقلی و دو بر صیقلی تهیه شده است. نتایج حاصل از تفسیر انواع کانی‌های سنگ درون‌گیر و کانی‌های تشکیل دهنده مواد معدنی و تعیین دگرسانی و ژئوشیمی عناصر و ژنز کانسار با استفاده از نرم‌افزارهای جدید رایانه‌ای مورد جمع‌بندی قرار گرفته است.

نتایج

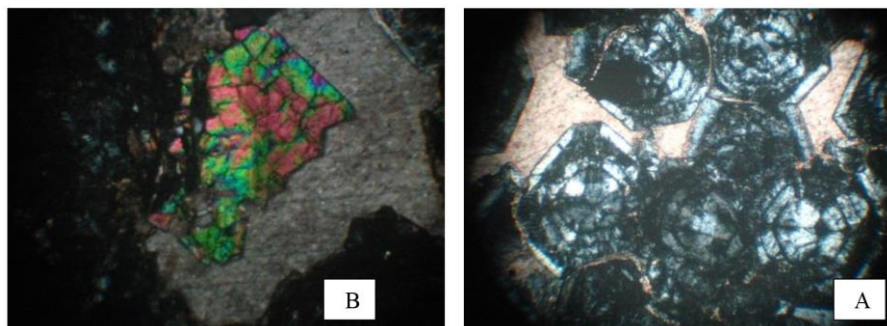
کانی‌شناسی اسکارن آهن کامو: معدن آهن کامو براساس مطالعات انجام شده در رده اسکارن‌ها قرار دارد که گرونا و پیروکسن به طور همزمان تشکیل شده و فلزات مگنتیت و پیریت به همراه کانی‌های فوق جزء نسل اول کانی‌سازی بوده که در سرتاسر منطقه کامو پراکنده‌اند. علاوه بر آن تئیدروسیلیکات‌ها (اپیدوت و اکتینولیت و ترمولیت) در جریان دگرسانی همزمان و یا بعد از آن جزء نسل دوم کانی‌سازی منطقه می‌باشند. نسل سوم کانی‌سازی سوپرژن می‌باشد که سبب تشکیل کلاهک آهنهای (گوسان) و کانی‌های

مواد و روش‌ها

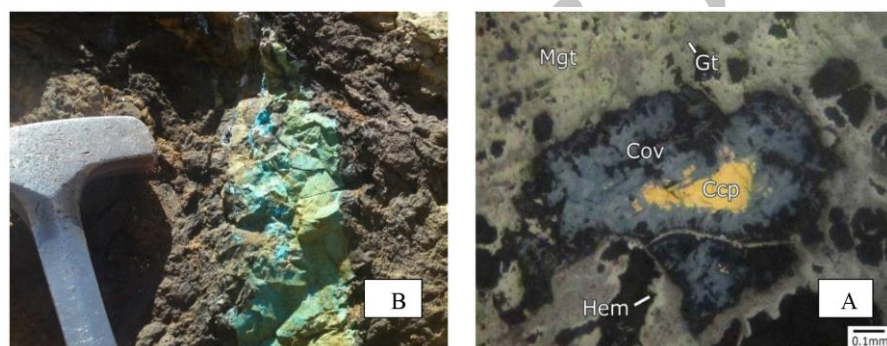
پس از جمع‌آوری و بررسی کلیه کارهای قبلی انجام شده در منطقه و طبقه‌بندی و جمع‌بندی آنها مطالعات صحراوی و نمونه برداری‌های میدانی در امتدادهای مشخص صورت پذیرفته و با توجه به اینکه نمونه‌گیری از رخنمون‌های سنگی یکی از روش‌های مناسب در مطالعات زمین‌شناسی است، به همین منظور در منطقه کامو نمونه‌برداری از واحدها یا رخنمون‌های سنگی با توجه به تغییرات سنگ‌شناسی، زمین‌شناسی ساختمانی، تنوع کانی‌سازی، در وسعتی به ابعاد 500×400 متر انجام شده است. در مجموع ۵۰ نمونه سنگی از رخنمون واحدهای رسوبی، توده نفوذی، اسکارن‌ها و کانی‌سازی‌های فلزی و غیرفلزی و زون‌های آلتراسیون به روش کلوخه‌ایی، لب‌پری و شیاری نمونه‌برداری شده و مختصات سایت‌های نمونه‌برداری با دستگاه GPS گارمین برداشت شده است. پس از شماره‌گذاری نمونه‌ها، در آزمایشگاه سازمان زمین‌شناسی و آزمایشگاه شرکت کانساران بیانالود به روش‌های مختلف XRD، EPMA و XRF مورد آنالیز قرار گرفته‌اند. همچنین از نمونه-

مانند مالاکیت در منطقه وجود دارد (شکل‌های ۲ و ۳).

اکسیدی نظری هماتیت، لیمونیت گوتیت و کانی‌های سولفیدی (پیریت، کالکوپیریت و کوولیت) شده است. آثار کمی از کانی‌زایی کربنات مس



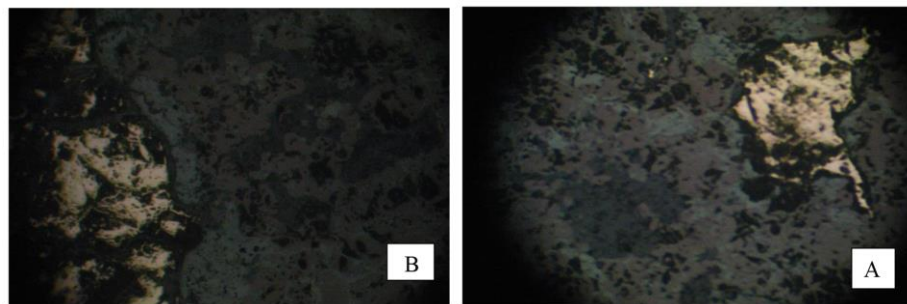
شکل ۲: A: بلورهای شش گوش و با ساخت منطقه‌ای (ZONAL STRUCTURE) از گروسوواریت B: پیروکسن آهن‌دار نوع هدبینرژیت با بیفرانژانس سبز و گلبهی (XPL (10×6.3)



شکل ۳: A: کالکوپیریت، کوولیت، مگنتیت، هماتیت و گوتیت، B: کانی مس در کنار اکسیدهای آهن

سنگ‌های کربناتی، دگرسانی حرارت بالا از نوع اسکارنی شدن گسترش دارد. این نوع دگرسانی از گسترش نسبتاً بالایی برخوردار است و مجموعه کانی‌شناسی و لاستونیت، گارنت، دیوپسید، ترمولیت، اکتینولیت، فلوگوپیت و غیره معروف این نوع دگرسانی می‌باشدند. در این نمونه‌ها پیریت ضمن خرد شدن، دچار واپاشی شده و به گوتیت و لیپدوکرولیت تبدیل شده و با مگنتیت همرشدی پیدا کرده است و لذا سطح مقطع را فرا گرفته‌اند. در این راستا باقیمانده‌هایی از پیریت نیز بر جای مانده‌اند (شکل ۴ A و B).

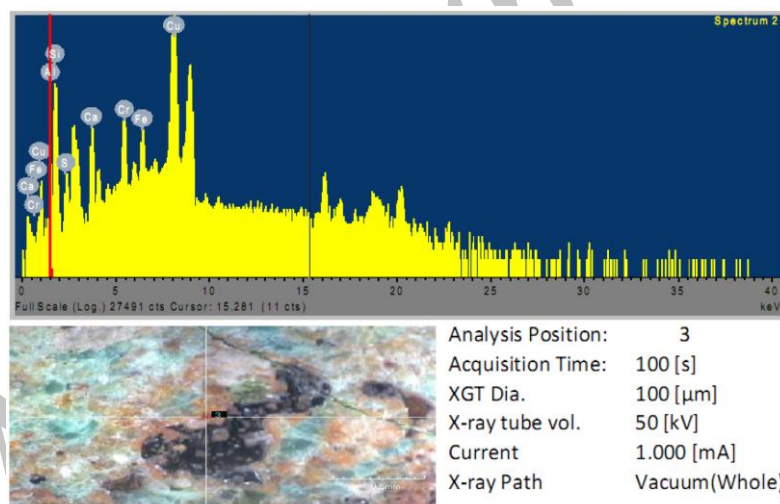
پارازنژهای همراه
پارازنژهای همراه به‌طور عمده شامل گارنت (آندرادیت، گروسوواریت)، اپیدوت-زوئیزیت، کوارتز، کلسیت، آمفیبول اکسیدهای آهن (مگنتیت، هماتیت، لیمونیت، گوتیت) و گاهی کلینوپیروکسن هستند. رخساره دگرگونی این مجموعه در حد آمفیبول هورنفلس تا ابتدای رخساره پیروکسن هورنفلس است. بلورهای بی-شکل اپیدوت این سنگ‌ها از نوع زوئیزیت و یا کلینوزوئیت است که به گونه پراکنده در کل سنگ وجود دارند. در برخی نمونه‌ها نیز کلینوپیروکسن از نوع دیوپسید دیده می‌شود در



شکل ۴: A و B: پیریت ضمن خردشدن، واپاشی شده و به گوتیت و لیپیدوکروولیت تبدیل شده و با مگنتیت همرشدی پیدا کرده است - $pp110 \times 20$

X-Ray image, Back scattered (گرفت) (BSEI) در این بررسی بعضی از نمونه‌ها به مقدار ۴۰ درصد اکسید مس (CuO) به همراه دیگر کانی‌های فلزی نظیر مگنتیت حضور دارند (شکل ۵).

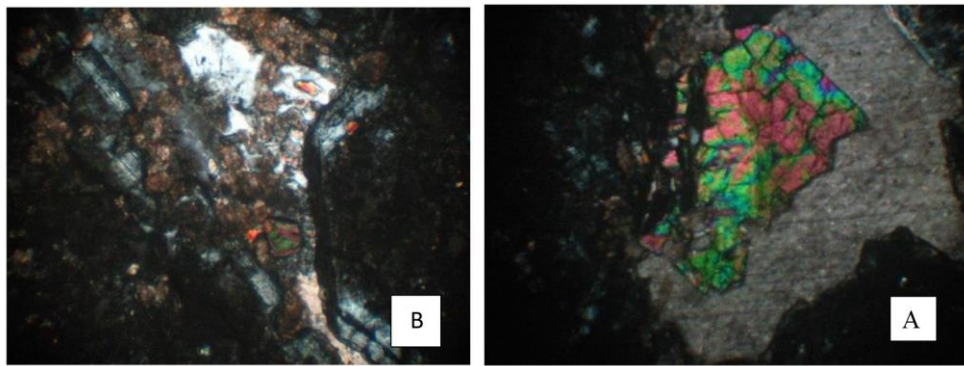
تعداد سه نمونه حاوی پیریت، کالکوپیریت و مگنتیت توسط دستگاه میکروپرپ (HORIBA XGT 7200) به تعداد ۳۰ نقطه مورد مطالعه قرار گرفته است. دانه‌های پیریت نمونه‌های فوق از نظر محتوی عناصر نیکل و کبالت و مگنتیت (محضرا از نظر مقدار کبالت) مورد آنالیز نقطه‌ای قرار



شکل ۵: نتایج آنالیز نقطه‌ای با دستگاه میکروپرپ (HORIBA XGT 7200)

گرفته‌اند، تشکیل شده است (شکل ۶ A). توده اصلی آذرین پورفیری به شکل استوک است که دم‌های داسیتی در آن نفوذ کرده‌اند. در نتیجه نفوذ این توده‌ها در سنگ‌های آهکی منطقه کانی‌های گرونای کلسیم و آهن‌دار به وجود آمده‌اند (شکل ۶ B). کانسار آهن به شکل‌های چینه‌ای، انباری و شاخه‌دار و استوک ورک تشکیل شده‌اند.

ساخت و بافت
براساس مطالعات پتروگرافی، سنگ‌های آذرین و متامورف و توده‌های اسکارنی منطقه، دارای بافت گرانوبلاستیک و پورفیروئید از درشت بلورهای پلازیوکلаз، فلدسپار پتاسیک و بیوتیت که در زمینه‌ای متببور (لیکن ریزدانه‌تر نسبت به درشت بلورها) از کوارتز و فلدسپار (زمینه فنیتی) قرار



شکل ۶: A: بافت گرانولار از مجموعه بلورهای آندرادیت و گروسولاریت همراه آهک و پلاژیوکلاز (10×20 PPL)، B: گروسولاریت بازون‌بندی مربوطه که حاوی سیلیس، آهک، هدبترزیت و هسونیت است (10 \times 6.3 XPL).

مکنتیت در محیط ثانویه تشکیل گردیده است. تبدیل مگنتیت به هماتیت (مارتیتی شدن) و هماتیت به مگنتیت (در شرایط آزمایشگاهی) یک واکنش اکسیداسیون و احیا است که حضور اکسیژن و یا بدون اکسیژن انجام می‌شود (رسا، ۱۳۸۵).

پروپیلیتی شدن

مجموعه پروپیلیتی شامل کانی‌های اپیدوت (زوئیزیت-کلینوزوئیزیت) آلیت، کلریت و کربنات‌هاست و عموماً سرسیت، پیریت، یا اکسیدهای آهن و گاهی زئولیت و مونت موریونیت‌ها نیز حضور دارند. سولفورها همراه این مجموعه به جز پیریت عموماً دارای نسبت گوگرد/فلز پایین تا متوسط هستند. از نظر ژئوشیمیایی محلول‌های گرمایی غنی از منیزیم، آهن، کلسیم، سدیم و یا بی‌کربنات در سنگ‌های آذرین موجب تشکیل اپیدوت، کلریت، زوئیزیت و یا آلیتیت می‌شوند. در مرکز سیستم اپیدوت-کلریت به طرف خارج به آلیت، کلسیت و کانی‌های رسی تبدیل می‌شوند. این آلتراسیون خارجی‌ترین قسمت در کانسارهای مس پورفیری است و از نظر پی‌جوبی و اکتشاف این نوع کانسار حائز اهمیت است. این نوع دگرسانی در منطقه مورد مطالعه در ارتباط با سنگ‌های داسیتی منطقه با گسترش

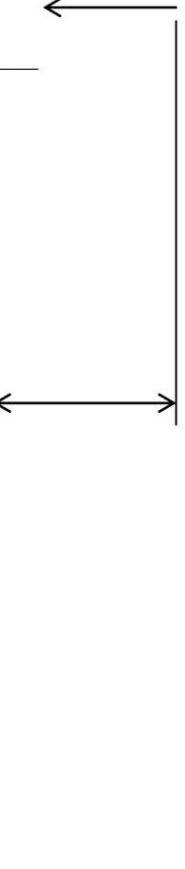
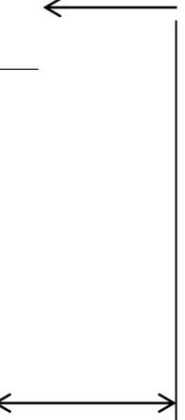
هماتیتی شدن

این دگرسانی‌ها از نوع دگرسانی به اکسیدهای آهن بوده و آثاری از آن در حوالی اسکارن شمال کامو به گونه یک هاله بسیار وسیع دیده می‌شود. در برخی نقاط این آلتراسیون شامل عدسی‌های بسیار کوچک آهن‌دار و رگچه‌های از هماتیت، لیمونیت و گوتیت است. در برخی نقاط شدت این دگرسانی در حدی است که سنگ اولیه قابل شناسایی نیست. این مجموعه به رنگ قهوه‌ای تا قهوه‌ای تیره متمایل به ارغوانی در منطقه دیده می‌شود. محلول‌های گرمایی حاصل از مagma‌تیسم منطقه باعث شستشو یا دگرسانی آهن از کانی‌های فرومینیزین شده و این مجموعه‌ها تحت شرایط مناسب فشار، حرارت و فشار بخشی گاز اکسیژن در درزهای شکاف‌ها به صورت عدسی‌های کوچک آهن‌دار نهشته شده‌اند. براساس مطالعات پتروگرافی، پلاژیوکلاز سنگ‌های اولیه به سرسیت و کلریت تبدیل شده و آمبیبیول‌ها به ترمولیت-آکتینولیت تجزیه شده‌اند. کانی‌های کلینوپیروکسن و الیوین نیز به‌طور کامل به اکسید آهن و کلریت دگرسان شده‌اند. تجمع بسیار فراوانی از اکسیدهای آهن در خمیره سنگ دیده می‌شود. هماتیتی شدن هم بر اثر پدیده مارتیتی شدن هم در محیط سوپرژن بر اثر واپاشی

از فرآیندهای اکسیداسیون فازهای سولفوری می-باشد. در آنالیزهای انجام شده نمونه شماره ۹۰-E-۲ همراه با محصولات دگرسانی حاصل از فعالیت-های هیدروترمالی محصولاتی با ترکیب، مونت موریونیتی، کاولینیتی، لیمونیت، گوتیت نیز دیده می‌شود (جدول ۱).

نسبتاً بالایی دیده می‌شود. به نحوی که در برخی موارد کانی کلریت یا اپیدوت به حدی در سنگ بالا می‌رود که می‌توان دگرسانی را از نوع کلریتی و یا اپیدوتی دانست. تغییر رنگ سطحی در نتیجه توسعه هیدرومیکاها، کاولینیت و شستشوی هیدرو اکسیدهای آهن از طریق اسیدهای حاصله

جدول ۱: آنالیزهای انجام شده به روش‌های XRD، (اسماعیلی، ۱۳۹۲)

Number	Sample	Major Phase				Minor Phase	Trace Phase				
1	90-E-2	Geothite				Montmorillonit + Grassular	Quartz				
2	90-E-4	Magnetite				Quartz	-				
3	90-E-6	Goethite + Quartz Montmorillonit + Orthocloose				Muscovite + illite	Kaolinite				
4	90-E-12	Gibbsite + Halloysite				Quartz	-				
5	90-E-14	Hematite + Geotite Magnetite				Quartz	-				
6	90-E-16	Quartz + Calsite + Kaolinite + Montmorillonit				Orthoclase	-				
7	G-91-1	Andradite + Quartz				Calcite	Albite				
8	G-91-2	Andradite				Quartz	-				
9	G-91-5	Quartz + Muscovite + illite + Albite				Chlorite	-				
10	G-91-6	Quartz + Albite + Muscovite				-	-				
 											
 											
 											
 											
 											
 											

منطقه باعث تشکیل دگرگونی‌های مجاورتی، دگرسانی‌های هیدروترمال و برهم زدن نظم لایه-بندی و آثار سطحی در سنگ‌های رسوبی شده‌اند. عمده‌ترین سنگ‌های آذرین منطقه مورد مطالعه عبارتند: مونزوگرانیت تا کوارتز مونزوودیوریت آمفیبول دار، آمفیبول مونزوگرانیت پروفیری تورمالین دار-اپیدوتی شده، گرانودیوریت، داسیت و آندزیت، تراکی آندزیت، لاتیت کوارتزدار و بالاخره بازالت هستند. سنگ‌های دگرگونی در محدوده، اسکارن‌ها، شامل مرمرهای سفید، گارنت هورن فلس، گارنت فلس و تاکتیت می‌باشد (شکل ۷).

لیمونیتی شدن، گوتیتی شدن کانسارهای هیدروترمال ممکن است در بخش‌های سطحی دگرسانی نوع سوپوژن را هم تحمل نمایند. معمولاً در سطح هوازده شده، چنین توده‌هایی با رنگ‌های زرد شاخص آلتراسیون لیمونیتی، قرمز شاخص التراسیون گوتیتی در منطقه مشخص می‌شوند.

شکل توده معدنی آهن منطقه کامو: برون‌زد وسیعی از سنگ‌های گرانیت‌وئیدی در محدوده مورد مطالعه و اطراف آن وجود دارد که بیشتر واحدهای چینه-شناصی قبل از الیگومیوسن منطقه را قطع کرده است. این سنگ‌ها به ترتیب فراوانی شامل کوارتز‌مونزوونیت، کوارتز‌مونزوودیوریت، گرانودیوریت و گرانیت هستند. این مجموعه‌های نفوذی در



شکل ۷: نمایی از کانی زایی اسکارن با کلاهک آهنی همراه با زون آلتراسیون، بادید به سمت شمال

دلیل جایگزینی در شبکه منیزم بیشتر است (آدابی، ۱۳۹۰). در مشاهدات صحرایی علاوه بر اکسیدو هیدروکسید (مگنتیت، هماتیت و لیمونیت) پیریت، بلورهای گارنت، کلریت، کلسیت و کوارتز در این مجموعه دیده می‌شود. همچنین آثار بسیار شدیدی از انواع دگرسانی پروفیلیتیک، پتاسیک و آرژیلیک دیده می‌شود. با توجه به این که عامل اصلی تشکیل دهنده این مجموعه اسکارنی زبانه‌هایی از استوک گرانیت‌وئیدی واحد کرکس است ولی نقش دم‌های داسیتی نفوذی

اسکارن

این مجموعه حاصل متاسوماتیسم توده‌های نفوذی واحد گرانیتی کرکس با سنگ‌های دولومیتی و آهک‌های اربیتولین دار واحد کرتاسه زیرین است و شامل یک مجموعه اسکارنی آهن‌دار است که بر روی زمین به رنگ قهوه‌ای تا ارغوانی تیره دیده می‌شود (شکل ۸). با آن که کانی زایی اصلی در این محدوده مربوط به آهن است. ولی در برخی نقاط کانی زایی محدودی از مس و منگنز نیز وجود دارد. معمولاً میانگین آهن در دولومیت‌ها به

دگرسان شده هستند. علاوه بر این آثار بسیار فراوانی از فیلون‌های داسیتیک آندزیتی و داسیتی درگرسان در محدوده معدن یافت می‌شود که به نظر می‌رسد نقش افزایش شسشو (leaching) را در این محدوده ایفا کرده باشد.

(پالس جدیدتر از گرانیت) نیز در تکوین آن بی‌تاثیر نبوده است. با توجه به نمونه‌برداری‌های فراوانی که در پیرامون این محدوده انجام شد، سنگ‌های اثر گذارنده اصلی جهت تشکیل این مجموعه، میکروگرانودیوریت و میکروگرانیت‌های واحد کرکس هستند؛ که در محل همبrijی بسیار



شکل ۸: شکل نمایی از اسکارن و زون کانی سازی آهن منطقه کامو، پیت معدن با دید به سمت شرق

فاز کانی‌زایی آهن به صورت پراکنده در سرتاسر منطقه کامو تشکیل شده است. به واسطه قطع توده اصلی توسط دمهای داسیتی، می‌توان آن‌ها را دایک‌های بعد کانی‌سازی اولیه آهن در نظر گرفت. لذا جوان‌ترین پالس نفوذ در منطقه می‌باشند. عملکرد گسلهای معکوس موجب فرسایش بیشتر بلوک‌های کمر بالای گسلی لولای طاقدیس شده و تأثیر پدیده سوپرژن باعث تشکیل کلاهک آهن (گوسان) شده است. معدن آهن کامو بروی آن قرار دارد. عیار آهن از سطح به عمق، در محل حفاری‌های معدنی کانسار آهن کامو کاسته می‌شود (فتحیان پور، ۱۳۸۹). بخش عمدۀ زون دگرسانی در سنگ‌های درون‌گیر این توده و در زون گسلیده در سطح ظاهر شده است (قاسمیان، ۱۳۹۰). عدسی‌های آهن موجود در کلاهک و زون‌های دگرسانی کاملاً در هم آمیخته شده و جداسازی دقیق انواع آلتراسیونها با توجه به تکتونیزه بودن منطقه مشکل می‌باشد. با توجه به

کلاهک آهنی

کانسار آهن کامو در زون ماغمایی سنوزوئیک ارومیه – دختر واقع شده و جای‌گیری استوک پورفیری کامو در راستای محور تاقدیس در منطقه و با راستای NW-SE انجام شده است. سنگ‌های درون‌گیر این توده آهک‌های اوربیتولین دار، دولومیت کرتاسه بالایی و سنگ‌های آتش‌فشانی و آذرآواری اؤسن می‌باشند (آهنکوب، ۱۳۸۲). ترکیب سنگ‌شناسی توده پورفیری دره کامو مونزو گرانیت، مونزو دیوریت پورفیری، گرانودیوریت پورفیری که توسط دمهای داسیتی وابسته قطع شده است (اما می، ۱۳۵۹). براساس نمونه‌های آالیز شده از توده‌های نفوذی در محل کانسار (دره کامو) و مناطق اطراف نظیر قصر نشان می‌دهد که عیار آهن و مس در منطقه کامو بیشتر است (جدول، ۱). با در نظر گرفتن سایر شواهد صحرایی و مطالعات میکروسکوپی، مگنتیت و کالکوپیریت و همزمان با کانی‌ها اسکارنی اولین

هماتیت، لیمونیت، گوتیت، ازاروسیت، گیسیت، کالکوپیریت، پیریت، کولولیت، کائولینیت، لیمونیت، کلسیت، دولومیت، مونتموریلولونیت، کلریت، ایلیت، آلبیت، کوارتز، بیوتیت، موسکوویت آمفیبیول هستند. مگنتیت و پیریت به صورت اولیه در اسکارن‌ها وجود داشته و در زون سوپرژن به دیگر اکسیدهای آهن و کانی‌های سولفیدی تبدیل شده‌اند. پیریت به گوتیت و لیپدوکروولیت و کالکوپیریت به کولولیت و مگنتیت به هماتیت و لیمونیت تبدیل شده‌اند. علاوه بر آن آثار ضعیفی از کانی‌های کربناته مس مانند ملاکیت و آزوریت در محل حفاری‌هایمعدنی یافت شده است.

۳- عمده‌ترین بافت موجود شامل گرانولار، پورفیری، توده‌ای، همرشدی کلوفورم، هیپ ایدومورفیک، کاتاکلاستیک، نواربندی کلوفورم می‌باشد.

۴- مگنتیت و کانی‌های سولفیدی مانند پیریت و کالکو پیریت، با منشاء ماقمایی، نسل اول کانی- زایی اسکارنی و دگرسانی‌های حاصل از سیالات ماقمایی نسل دوم و پدیده سوپرژن نسل سوم کانی‌سازی منطقه کامو را تشکیل داده‌اند. بنابراین در یک نگاه کلی شکل مجموعه کانسار به صورت اپی ژنتیک هیدروترمالی معرفی می‌گردد.

- امامی، م. و عمیدی، س.، ۱۳۵. نقشه زمین- شناسی چهارگوش کاشان با مقیاس ۱:۲۵۰۰۰۰ شماره ۷، سازمان زمین‌شناسی کشور.

- آهنکوب، م.، ۱۳۸۲. بررسی پترولوزیکی و ژئوشیمیایی هاله دگرگونی توده گرانیتوئیدی قهرود، پایان‌نامه فوق لیسانس دانشگاه اصفهان، ۲۷۳ ص.

سرشت ماقمای مولد توده پورفیری کامو کالک آلکالن با پتابسیم بالا و محیط تکتونیکی زون فرو رانش است. عیار بالای مس در توده نفوذی (۲۸۸) پی‌پی (ام) و تشکل کلاهک آهنه در زون سوپر ژن، عیار بالای کانی‌های اکسیدی آهن در سطح زمین و حضور اندک کانی‌های سولفیدی مس (کالکو پیریت) بیانگر این واقعیت است که وجود توده مس پورفیری در عمق دور از انتظار نیست.

نتیجه گیری

در اسکارن‌های منطقه کامو با توجه به وجود گرونا در این سنگ (بیوتیت مونزروگرانیت پروفیری گرونا) که توده ساب-ولکانیک (sub-volcanic) اصلی منطقه است، مربوط به بخش اسکارن داخلی است. هچنین از همبری این توده گرانیتوئیدی ساب و لکانیکی در مجاورت آهک و واکنش‌های نزدیک بین توده ساب و لکانیک و آهک، بلورهای در هم آمیخته گرونای کلسیم‌دار نوع آندرادیت و نوع گروسولاریت به وجود آمده است. (اگزواسکارن) و نمونه‌های با بافت پروفیروئید بخش حاشیه‌ای این توده اصلی مونزروگرانیتی آمفیبیول دار با بافت هیپ ایدومورفیک تمام بلورین را ساخته‌اند.

۱- عمده‌ترین کانی‌های منطقه مورد مطالعه گرسولاریت، آندرادیت، هالوزیت، مگنتیت،

منابع

- آدابی، م.، ۱۳۹۰. ژئوشیمی رسوی، مرکز پژوهشی ایران زمین چاپ دوم، ۵۳۰ ص.
- آقاباتی، ع.، ۱۳۸۳. زمین‌شناسی ایران، جلد اول، انتشارات سازمان زمین‌شناسی کشور، ۵۸۶ ص.
- اسماعیلی، ا.، ۱۳۹۴. رساله دکتری دانشگاه آزاد واحد علوم و تحقیقات تهران، ۱۹۵ ص.

- دومین همایش زمین‌شناسی و محیط زیست، ۵۱۶ ص.
- سهندی، م.ر.، ۱۳۷۹. گزارش پروژه اکتشافات سیستماتیک بر روی کمربند ارومیه دختر، ۴۲۱ ص.
- فتحیان پور، ن.، ۱۳۸۵. مطالعات مغناطیس سنجی اندیس معدنی سنگ آهن کامو از توابع میمه، ۳۳ ص.
- قاسمی، پ.، ۱۳۸۷. گزارش اکتشاف سنگ آهن کامو، شرکت آروین کانه اصفهان، ۲۹ ص.
- قربانی، م.، ۱۳۸۶. زمین‌شناسی اقتصادی-ذخایر معدنی و طبیعی ایران، ۴۹۲ ص.
- قهرایی پور، م. و کریمی، ح.ر.، ۱۳۸۹. نقشه زمین‌شناسی کامو ۲۵۰۰۰:۱، سازمان زمین‌شناسی و اکتشاف معدنی کشور.
- کریمی پور، م. و سعادت، س.، ۱۳۸۱. زمین‌شناسی اقتصادی کاربردی ایران، دانشگاه مشهد، ۵۲۲ ص.
- کوثری، س. و پارسی، ب.، ۱۳۷۳. مطالعه و ارزیابی اندیس‌های معدنی (دره کامو)، فصلنامه علوم زمین شماره ۱۳، ۲۲۱ ص.
- مولایی بیرگانی، غ.، ۱۳۶۹. پی جویی پهنه میمه - قهروود - طرق، سازمان زمین‌شناسی کشور، گزارش شماره ۲۸، ۹۶ ص.
- نوربهشت، ا.، بشیری، ا. و مکی‌زاده، م.ع.، ۱۳۸۸. پژوهش‌های پترولوزیکی و ژئوشیمیایی اسکارن‌ها در منطقه دره کامو (جنوب باختر کاشان)، فشرده مقالات سومین همایش انجمن زمین‌شناسی ایران، دانشگاه شیراز، ۵۶۳ ص.
- برنا، ب. و جانثاری، م.ر.، ۱۳۷۲. طرح اکتشافات سیستماتیک موضوعی، گزارش عملیات اکتشافات چکشی و متالوژنی در ورقه ۱:۱۰۰۰۰ کاشان، گزارش سازمان زمین‌شناسی کشور.
- بهزادی، م.، ۱۳۸۲. بررسی کانسار آهن ایران مرکزی، رساله دکتری زمین‌شناسی دانشگاه شهید بهشتی.
- بنی‌طبعا، م. و طهماسبی نمکی، ز.، ۱۳۸۱. نگرشی به زمین‌شناسی پترولوزی و ژئوشیمیایی سنگ‌های آذرین نیاسر کاشان، هفتمین همایش سالانه انجمن زمین‌شناسی ایران.
- حجاجی‌علیلو، ب.، ۱۳۶۸. بررسی پتانسیل‌های معدنی منطقه قمصر کاشان، پایان‌نامه فوق-لیسانس دانشگاه تربیت معلم تهران، ۳۱۱ ص.
- حسن‌زاده، ج.، ۱۳۵۷. مطالعه پترولوزی سنگ-های آذرین ناحیه قمصر جنوب کاشان، پایان‌نامه کارشناسی ارشد دانشگاه تهران، ۲۴۳ ص.
- حسنی پاک، ع.ا.، ۱۳۷۴. گزارش پروژه اکتشافات ژئوشیمیایی سیستماتیک سیمای ژئوشیمیایی و متالوژنی در محدوده برگ‌های کاشان، نظری، طرق، سازمان زمین‌شناسی کشور با مشاورت شرکت توسعه علوم زمین، ۳۴۱ ص.
- جعفر‌زاده، م. و قربانی، م.، ۱۳۷۴. زمین‌شناسی ایران، کانسارهای آهن ایران، ۴۹۲ ص.
- رادفر، ج. و علایی مهابادی، س.، ۱۳۶۴. نقشه زمین‌شناسی با مقیاس ۱/۱۰۰/۰۰۰ کاشان سازمان زمین‌شناسی کشور.
- رسا، ا. و براتی، م.، ۱۳۸۵. مطالعه واکنش‌های رداکس در تبدیل کانی مگنتیت به هماتیت

-Alavi, M., 1994. Tectonics of the Zagros orogenic belt of Iran, new data and interpretations, Tectonophysics, v. 229, p. 211-283.

-Berberian, M. and King, G.C.P., 1981. Towards a paleogeography and tectonic

evolution of Iran, Canadian Jurnal of Earth Sciences, v. 18, p. 210-265.

-Emami, H., 1981. Geologie de la region de Qom- Aran (Iran) Contribution an Ietude dynamique ET geochimique du volcanism Tertiaire de l'Iran Central (These), 384 p.

- Chappell, B.W. and White, A.J.R., 1992. I-and S-type granites in the Lachlan Fold Belt, Transaction of Royal Society of Edinberg, Earth Sciences, v. 83, p. 1-26.
- Forster, H., Fesefeldt, K. and Kursten, M., 1972. Magmatic and orogenic evolution of central Iranian volcanic belt, 24th, IGC, Section 2, p. 198-210.
- Cox, K.G., Bell, J.D. and Pankhurst, R.J., 1979. The Interpretation of Igneous Rocks, George Allen and Unwin, London, 454 p.

Archive of SID